

枸杞子中免疫活性成分的分离、纯化及物理化学性质的研究

黄琳娟 林 翳 田庚元 计国帧

(中科院上海有机化学研究所, 上海 200032)

摘要 从宁夏枸杞子提取得到的糖缀合物 LBP 经 DEAE-cellulose 柱色谱得到 5 个组分, 其中 Lbp3, Lbp4 和 Lbp5 分别经 CM-Sephadex C-50, Sephadex G-100, Sephadex G-50 柱色谱得到均一组分 LbGp3, LbGp4 和 LbGp5。N 含量: LbGp3 0.83%, LbGp4 1.72%, LbGp5 9.58%。总糖含量: LbGp3 93.6%, LbGp4 85.6%, LbGp5 8.6%。分子量: LbGp3 9.25×10^4 , LbGp4 21.48×10^4 , LbGp5 2.37×10^4 。糖组成为: LbGp3: Ara:Glc = 1:1, LbGp4: Ara:Gal:Rha:Glc = 1.5:2.5:0.43:0.23, LbGp5: Rha:Ara:Xyl:Gal:Man:Glc = 0.33:0.52:0.42:0.94:0.85:1。初步分析表明 LbGp4 是 O-连接的糖蛋白。

关键词 枸杞子; 糖缀合物; 多糖

枸杞子(*Lycium barbarum* L.)是我国一种传统中药, 有“补肾益精, 养肝明目”的功效, 民间多用来作为延年益寿的补品。近年来证实枸杞子的粗多糖-蛋白复合物为其有效成分之一。但目前这方面的工作主要偏重于药理作用的探讨^[1~3], 化学工作, 如组分的纯化, 结构研究等报道很少。田庚元等^[4,5]曾从宁夏枸杞子中得到 1 个有免疫活性的糖蛋白 LbGp。我们对枸杞子中的免疫活性成分进行较系统的研究, 分离得到 Lbp1~Lbp5 5 个组份, 并对其进行小鼠体内免疫活性试验, 发现这 5 个组份均可提高腹腔巨噬细胞吞噬百分率及体内淋巴细胞转化率。其中对 Lbp3, Lbp4 和 Lbp5 分别进行纯化, 得到 LbGp3, LbGp4 和 LbGp5, 并对这些糖缀合物进行物理化学性质的研究。

材料和方法

材料与仪器 722 型, 754 型分光光度计为上海第三分析仪器厂产品, 红外光谱为 Bio-Rad FTS185, 气相色谱仪为 Varian VISTA6000, 液相色谱仪为 Shimadzu 10AD, 电泳仪为 Bio-Rad

的 Mini-ProteanR II Electrophoresis cell, 毛细管电泳仪为 Water Quanta 4000E, 紫外吸收测定仪为 Perkin Elmer。

标准蛋白分子量与 DEAE-cellulose 为 Sigma 产品, Sepharose 4B, CM-Sephadex C-50, Sephadex G-100 和 Sephadex G-50 为 Pharmacia 产品。标准葡聚糖分子量为 Fluka 试剂。其余试剂为国产分析纯。

枸杞子为宁夏产品。

糖缀合物的分离、纯化 生药枸杞子 500 g 粉碎后, 在室温下用 3 倍体积 H₂O 浸泡 24 h, 双层纱布过滤, 残渣再次用 1.5 倍体积 H₂O 浸泡 6 h, 合并滤液。旋转蒸发浓缩(T<40℃)。离心, 上清液用 4 倍体积无水 EtOH 沉淀。沉淀经少量水溶解后, 用 1/5 体积 Savage 试剂(CHCl₃—n-BuOH 4:1)去游离蛋白(7 次)。对水透析 2 d, 冷冻干燥, 得粗多糖缀合物 LBP 4.0 g。

LBP 进行 DEAE-cellulose 柱色谱(HCO₃⁻¹型), 依次用 H₂O, 0.05, 0.1, 0.25, 0.5 mol·L⁻¹ NaHCO₃ 洗脱, 隔管检测 A₂₈₀ 和 A₄₉₀(硫酸—苯酚法), 分离得到 Lbp1, Lbp2, Lbp3, Lbp4 和 Lbp5 5 个组分(图 1)。除 Lbp2 因量少还未研究外, Lbp1 透析脱盐后, 经 Sephadex G-100 纯

化得 LbGp^[1,2]。Lbp3 分别经 Sephadex G-100 (0.1 mol·L⁻¹ NaCl 洗脱) 和 CM-Sephadex C-50 (0.2 mol·L⁻¹ 磷酸缓冲液洗脱) 柱色谱得 LbGp3, 得率为 32.5%。Lbp4 经 2 次 Sephadex G-100 (0.1 mol·L⁻¹ NaCl 洗脱) 柱色谱得 LbGp4, 得率为 40.2%。Lbp5 经 Sephadex G-100 (0.1 mol·L⁻¹ NaCl 洗脱) 和 Sephadex G-50 (0.1 mol·L⁻¹ NaCl 洗脱) 柱色谱得 LbGp5, 得率为 20.1%。

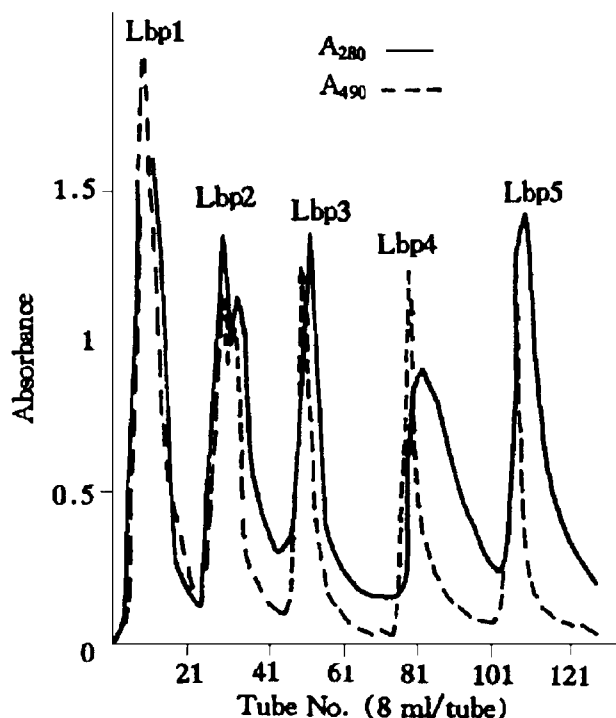


Fig 1 Elution pattern of Lbp on DEAE-cellulose column (2 cm × 40 cm). Eluent: H₂O, 0.05~0.50 mol·L⁻¹ NaHCO₃; Flow rate: 0.5 ml·min⁻¹.

纯度鉴定 HPLC 法: 分析柱为 TSK-2000SW, 洗脱液为 NaH₂PO₄-Na₂HPO₄ 缓冲液 (50 mmol·L⁻¹, pH 7.0), 流速 1.0 ml·min⁻¹。紫外检测波长为 254 nm。毛细管电泳法: 电泳液为 100 mmol·L⁻¹ H₃BO₃-KOH 缓冲液 (pH 10)。紫外检测波长 254 nm。SDS-PAGE 电泳法^[6]: 用 1.5 mol·L⁻¹ Tris-HCl (pH 8.8) 缓冲液, 分离胶浓度 15%, 考马斯亮蓝 R-250 染色。

糖组成分析 纸色谱: 样品加 1 mol·L⁻¹ H₂SO₄ 2 ml, 充 N₂, 封管, 100℃ 水解 4 h 后用

BaCO₃ 中和进行纸色谱。展开剂为 n-BuOH—C₅H₅N—H₂O (6:4:2), 显色剂为苯胺-邻苯二甲酸。HPLC 法: 纸色谱证实已水解完全后, 作 HPLC 分析。分析柱为 Carbohydrate analysis, 流动相为乙腈—水 (85 : 15), 流速 1.0 ml·min⁻¹, 示差检测。气相色谱法: 将完全酸水解样品, 按文献^[7]方法制成相应的糖醇乙酸酯衍生物, 用少量氯仿溶解后进行气相色谱分析, 分析柱 3% OV-225 毛细管柱 (25 m × 0.3 mm), 程序升温 180℃ (5 min) $\xrightarrow{2^{\circ}\text{C} \cdot \text{min}^{-1}}$ 200℃ (30 min)。

分子量测定 LbGp3 和 LbGp4 的分子量测定: 采用凝胶过滤法测定分子量。Sepharose 4B 柱 (2 cm × 50 cm) 用 0.1 mol·L⁻¹ KCl 按恒定流速 (10 ml·h⁻¹) 平衡 24 h。将分子量分别为 25000, 80000, 270000, 670000 的 Dextran 标准品相继上柱 (每管收集 4.4 ml), 苯酚-硫酸法测定洗脱峰, 测得洗脱体积 V_e。用蓝色葡聚糖 (分子量 200 万) 求得外水体积 V_o。用线性回归法得出回归方程 $y = -2.5903 + 3.1021(\gamma = -0.9977)$ 。按同样条件对待测样品进行柱色谱, 由回归方程求得其分子量。LbGp5 的分子量测定: 用 SDS-PAGE 电泳法测定其分子量 (条件同 SDS-PAGE 电泳法)。以牛血清白蛋白、鸡白蛋白、胰凝乳蛋白酶原、β-乳球蛋白和溶菌酶作分子量标准。溴酚兰为指示剂, 定其迁移率为 1.0, 以各蛋白质相对迁移率对分子量对数作出标准曲线, 根据样品的相对迁移率可求得其分子量。

LbGp4 糖肽键特征^[8] 先将样品置 0.1 mol·L⁻¹ NaOH—1.0 mol·L⁻¹ NaBH₄ 溶液中, 40℃~45℃ 反应 24 h, 然后取样品作薄层色谱。茚三酮显色。

糖含量测定^[9] 用硫酸-苯酚法显色, 分别以 LbGp3, LbGp4 和 LbGp5 中摩尔比相同的混合单糖作标准, 在 486 nm 处测定。根据它们的标准系列回归方程求出样品中总糖的含量。

UV 和 IR 分析 样品溶于水, 浓度 1.0

$\text{mg} \cdot \text{ml}^{-1}$, 于 200 nm 至 600 nm 之间进行紫外扫描。测红外光谱时, 样品用 KBr 压片。

结 果

LbGp3 和 LbGp4 为白色絮状固体, LbGp5 为灰白色固体。LbGp3, LbGp4 在紫外 200 nm 处左右有强吸收, 而在 280 nm 处吸收很弱。LbGp5 在 200 nm 和 280 nm 处紫外均有较强吸收。红外光谱分析, LbGp3 的吸收谱带: 1648 cm^{-1} (酰胺键特征吸收, 弱), 1075 cm^{-1}

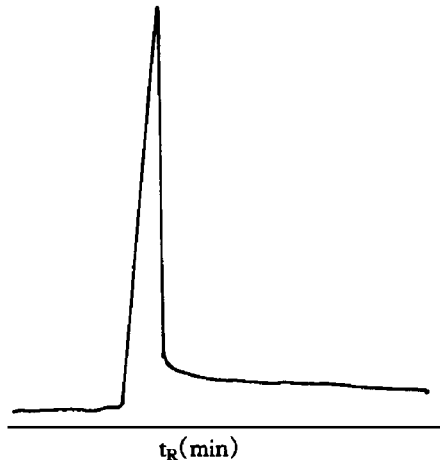


Fig 2 Elution of LbGp3 on CZE. Voltage: 20 V, UV 254 nm; Eluent: $100 \text{ mmol} \cdot \text{L}^{-1}$ H_3BO_3 -KOH, pH 7.0.

纸色谱和非衍生化的 HPLC 分析表明 LbGp3 含有 Ara 和 Gal, LbGp4 含有 Ara, Gal 和微量的 Glc, LbGp5 用此法未检测到单糖。

糖醇乙酸酯衍生化气相色谱(图 6)表明 LbGp3 含有 Ara, Gal, 摩尔比为 1:1, LbGp4 含有 Ara, Gal, Rha 和 Glc, 其摩尔比为 1.5:2.5:0.43:0.23。LbGp5 含有 Rha, Ara, Xyl, Gal,

(糖环特征吸收, 强)。LbGp4 的吸收谱带: 1645 cm^{-1} (中), 1098 cm^{-1} (强)。LbGp5 的吸收谱带: 1651 cm^{-1} (强), 1098 cm^{-1} (弱)。N 元素分析结果: LbGp3 为 0.83%, LbGp4 为 1.72%, LbGp5 为 9.58%。

LbGp3 和 LbGp4 经毛细管电泳和 HPLC(图 2,3)分析得到单一一对称峰, 表明其为均一性。LbGp5 经 HPLC 和 SDS-PAGE 电泳分析亦表明其有均一性(图 4), SDS-PAGE 电泳测得其分子量为 2.37×10^4 (图 5)。凝胶过滤法测得 LbGp3 和 LbGp4 的分子量分别为 9.25×10^4 , 21.48×10^4 。

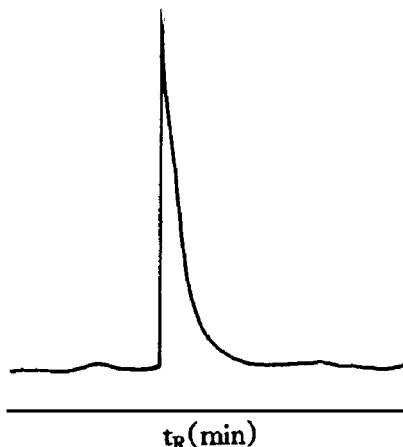


Fig 3 Elution of LbGp4 on TSK 2000SW. Flow rate: $1.0 \text{ ml} \cdot \text{min}^{-1}$; Detection: RI; Elution: $50 \text{ mmol} \cdot \text{L}^{-1}$ NaH_2PO_4 - Na_2HPO_4 , pH 7.0.

Man 和 Glc, 其摩尔比为 0.33:0.52:0.42:0.94:0.85:1。

LbGp4 经 β -消除, 薄层色谱结果显示其糖链与肽链是以 O-糖苷键连接的。

总糖含量测定结果表明 LbGp3 为 93.6%, LbGp4 为 85.6%, LbGp5 为 8.6%。

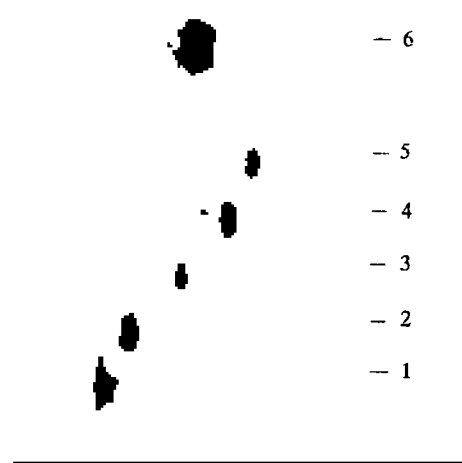


Fig 4 Photograph of LbGp5 on SDS-PAGE. Line 1. Albumin, bovine (66000); Line 2. Albumin, egg (45000); Line 3. Trypsingen (24000); Line 4. β -Lactoglobulin(18400); Line 5. Lysozyme(14300); Line 6. LbGp5.

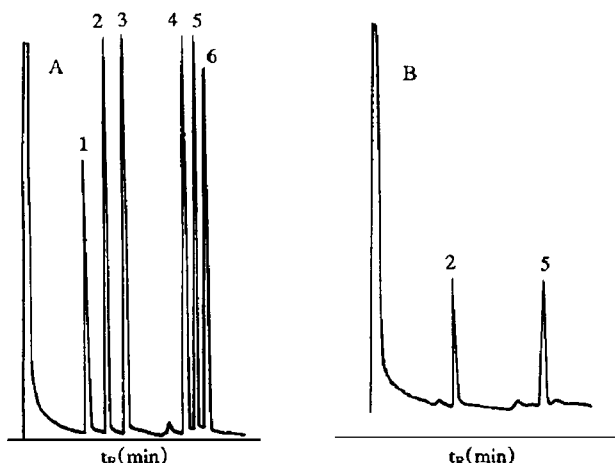


Fig 6 GLC of alditol acetate derivatives of carbohydrates on 3% OV-225 column (0.3 mm \times 25 m). Temp: 180°C (5 min) $\xrightarrow{2^{\circ}\text{C} \cdot \text{min}^{-1}}$ 200°C (30 min); A. Standard sample: 1. Rha; 2. Ara; 3. Xyl; 4. Man; 5. Gal; 6. Glc. B. Hydrolyzate of LbGp3.

讨 论

试验结果表明, 枸杞子中具免疫活性的有效成分是一类结构复杂的糖缀合物。除 LbGp5 外, 都是一些高糖含量的糖蛋白, 其中 LbGp3 的糖含量高达 93.6%, 这在植物糖蛋白

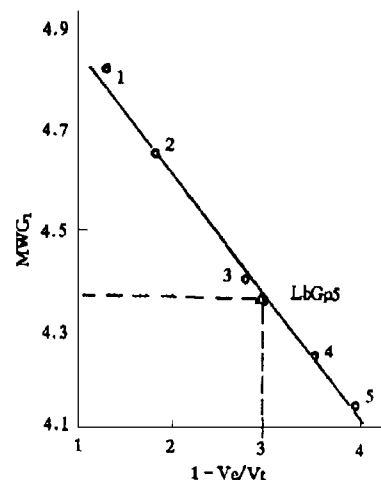


Fig 5 Plot of migration rates(MR) of standard protein samples and LbGp5 on SDS-PAGE against their lgMW. Line 1. ALbumin, bovine (66000); Line 2. Albumin, egg(45000); Line 3. Trypsingen (24000); Line 4. β -lactoglobulin (18400); Line 5. Lysozyme(14300).

中是极为罕见的。

我们^[1]原有的提取分离路线中分别用乙醚和丙酮脱脂和去色素。在试验过程中发现回收溶剂后所得脂类和色素残渣很少, 因此省去脱脂、去色素及溶剂回收步骤, 并不影响样品纯度, 且粗多糖的提取率由 0.4% 提高到 0.8%。

用非衍生化的 HPLC 和纸色谱对 LbGp5 进行糖组成分析均未检测到单糖, 而用糖醇乙酰化的气相色谱对其进行分析, 发现有少量 Rha, Ara, Xyl, Gal, Man 和 Glc。

硫酸-苯酚法测糖含量时, 发现用与样品中摩尔比相同的混合单糖溶液作标准是必要的, 否则糖含量的测定将出现较大的差异。

此外, Lbp1, Lbp2, Lbp3, Lbp4 和 Lbp5 均有明显的细胞免疫活性, 纯化后的 LbGp3, LbGp4 和 LbGp5 的活性测定工作正在进行中。

参 考 文 献

- 1 Geng CS, Wang ST, Zhou JH, et al. Enhancing effect of *Lycium barbarum* polysaccharides on the interleukin-2 activity in mice. 中国药理学与毒理学杂志, 1989, 3:175
- 2 陶茂萱, 赵忠良. 枸杞多糖对两种化合物体外诱发

- 遗传损伤的保护作用. 中国药理学与毒理学杂志, 1992, 6:136
- 3 周志文, 周金黄, 邢善田. 枸杞多糖对小鼠骨髓造血干细胞, 粒单系祖细胞增殖分化的影响. 中国药理学与毒理学杂志, 1991, 5:44
- 4 田庚元, 王晨, 冯宇澄. 枸杞子糖蛋白的分离纯化, 物理化学性质及糖肽键特征. 生物化学与生物物理学报, 1995, 27:201
- 5 田庚元, 王晨. 枸杞子糖蛋白一条高分子量糖链的结构测定. 生物化学与生物物理学报, 1995, 27: 493
- 6 何忠效, 张树政. 电泳. 北京科学出版社, 1990: 149
- 7 张维杰主编. 复合多糖生化研究技术. 上海科学技术出版社, 1987:158
- 8 Chaplin MF, Kennedy JF. *Carbohydrate Analysis*. Washington DC: IRL Press, 1986:151
- 9 林颖, 吴毓敏, 吴雯, 等. 天然产物中的糖含量测定方法正确性的研究. 天然产物研究与开发, 1996, 8 :5

ISOLATION, PURIFICATION AND PHYSICO-CHEMICAL PROPERTIES OF IMMUNOACTIVE CONSTITUENTS FROM THE FRUIT OF *LYCIUM BARBARUM* L.

Huang Linjuan(Huang LJ), Lin Ying(Lin Y), Tian Gengyuan(Tian GY) and Ji Guozheng(Ji GZ)

(*Shanghai Institute of Organic Chemistry, Academia Sinica, Shanghai 200032*)

ABSTRACT Three glycoconjugates, LbGp3, LbGp4 and LbGp5, were isolated from the fruit of *Lycium barbarum* L. Molecular weights of LbGp3, LbGp4 and LbGp5 were 9.25×10^4 , 21.48×10^4 and 2.37×10^4 , respectively. Carbohydrate contents of LbGp3, LbGP4 and LbGp5 were 93.6%, 85.6%, 8.6%, respectively. LbGp3 was composed of Ara and Gal in a molar ratio of 1:1. LbGp4 was composed of Ara, Gal, Rha and Glc in a molar ratio of 1.5:2.5:0.43:0.23. LbGp5 was composed of Rha, Ara, Xyl, Gal, Man and Glc in a molar ratio of 0.33:0.52:0.42:0.94:0.85:1. Elemental analysis of N contents: LbGp3 0.83%, LbGp4 1.72%, LbGp5 9.58%. The linkage between the glycan and protein may be of O-linkage in LbGp4.

KEY WORDS *Lycium barbarum* L.; Glycoconjugate; Polysaccharides